

徳島大学工学部  
岡山県庁

正員 藤井清司  
正員 増田克彦

まえがき 先に報告したF.E.M.によるせいい性材料のき裂進展解析では、1回のき裂進展量をF.E.M.に用ひる要素1つ分と仮定したが、き裂進展に伴うエネルギー解放率: Gとエネルギー吸収率: Rの平衡式を用ひて、その進展量を定量的に求めた手法を用いたのが報告する。また、き裂先端での応力・ひずみ分布の特異性を表現するために、き裂先端部の要素に特異要素を設定したので、これについても含めて報告する。解析モデルとしては、先に報告で用ひた長方形板の $\beta=30^\circ$ と $45^\circ$ である。これは、 $\beta=30^\circ$ の全てのき裂と $\beta=45^\circ$ の約半数のき裂は、初期切欠きの先端より発生することが実験より確かめられていて、<sup>3)</sup>破壊条件としては、き裂進展の最初の段階から破壊力学的手法を用ひる。

エネルギー平衡式 圧縮荷重下では、き裂進展は全て微小時間 $\Delta t$ 内に $\Delta a$ だけ進して再び停止するというプロセスの繰り返しを考えられる。さらに、 $\Delta t$ 時間におけるき裂進展速度は、変位の増加速度に対してはかに大きいため、変位一定あるいは荷重一定の条件のどちらのき裂進展と考えることも可能である。<sup>1)</sup>

一般に、き裂進展にかかるエネルギー平衡式は、初期き裂長さを $a_0$ とすると、次式で表わされる。

$$-\int_{a_0}^a G da + \int_{a_0}^a R da + C \cdot P \cdot a^2 \cdot \dot{a}^2 / 2 \cdot E = \text{const.} \quad (1)$$

(C: 定数, P: 密度)

ここで、左辺第3項はき裂の運動エネルギーである。Gは既存のき裂先端の応力拡大係数 $K_I$ ,  $K_{II}$ および、そこから発生した微小ブランチ・クラック先端の $K_{I0}$ ,  $K_{II0}$ を用ひて

$$G = (1 - j^2) \cdot (K_{I0}^2 + K_{II0}^2) / E \quad (2)$$

$$\text{ただし, } K_{I0} = 1/2 \cdot \cos \frac{\theta}{2} [K_I(1 + \cos \theta) - 3K_{II} \sin \theta]$$

$$K_{II0} = 1/2 \cdot \cos \frac{\theta}{2} [K_I \sin \theta + K_{II}(3 \cos \theta - 1)]$$

と表わされる。また、Rは理想せいい性体では一定値となり、その値は平面ひずみ破壊強度値を $K_{Ic}$ として

$$R = (1 - j^2) \cdot K_{Ic}^2 / E \quad (3)$$

で計算される。ここで、 $j$ はそれをボアソン比と弾性係数である。一定荷重下ではGは減少関数なので、微小ブランチ・クラックを順次増加させてGを計算し、さらにRの値を加えてき裂長さとの関係を示せば図1のようになる。き裂は $G - R > 0$ である区間では加速されるが、 $G - R < 0$ となる区間では減速され、面積ABCと面積CDEが等しくなる $a = a_2$ で停止すると考えられる。そして、 $a_2$ が求めたき裂進展量である。しかし、(1)式で示したき裂の運動エネルギーを考慮すると、き裂はさらに少し進展して止まると思われる。そこで、R曲線に代わって、その95%の曲線を描き、上記と同様の手法を用ひる。このことにより、約20%増加したき裂進展量 $a'_2$ を得られ、き裂の運動エネルギーを考慮したことにする。

き裂先端の特異要素 F.E.M.を用ひて、き裂先端における応力の特異性を表現するためには、き裂先端部の要素に特異要素を設定する方法が最も実用的である。この手法を要約すると、アイソパラメトリック要素において、正规化座標系( $\xi, \eta$ )における変位場の表現には通常の形状関数を用い、一

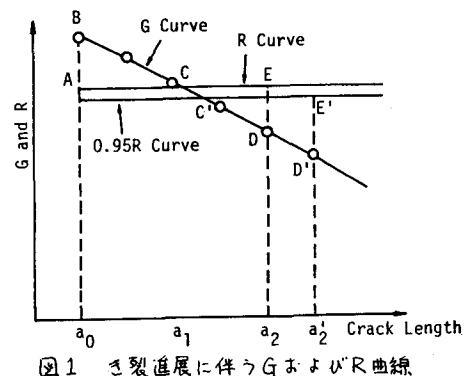


図1 き裂進展に伴うGおよびR曲線

方、正規化座標系から全体座標系( $x, y$ )への幾何学的写像式には、応力およびひずみ分布の特異性を表現するように修正されたものを用いるというものが<sup>2)</sup>ある。ここで、図2に示すように、四辺形要素の節点1と4が同一の座標値を有するよう、辺1-4をつぶして点としたものを考えよう。そして、この点を特異点としてき裂先端と一致させれば、特異点から放射方向の応力・ひずみ分布はものみに関係することになる。すなはち、正規化座標系での変位場は  $u_1 = u_4$  を考慮して

$$u - u_1 = \left[ \frac{1-\eta}{2} (u_2 - u_1) + \frac{1+\eta}{2} (u_3 - u_1) \right] \cdot \frac{1+\xi}{2}, \quad u^T = (u, v) \quad (4)$$

と表わせる。また、全体座標系への写像式としては、 $\eta$ に関する項に変形を与えた次のよう式を用ひる。

$$x - x_1 = \left[ \frac{1-\eta}{2} (x_2 - x_1) + \frac{1+\eta}{2} (x_3 - x_1) \right] \left( \frac{1+\xi}{2} \right)^{\frac{1}{\lambda}}, \quad x^T = (x, y) \quad (5)$$

(4)式と(5)式から得られる変位～ひずみ関係を普通要素に適用すれば、所望の特異性を有する特異要素が得られる。ここで、入の値としては  $1/2$  を与え。

解析結果 図3に、き裂進展経路とその荷重履歴を示す。なお、図中の番号はき裂進展段階(ステージ)を示す。これを見ると、 $\beta=30^\circ$ では上下切欠き先端から単位厚さ当り700kg程度の荷重で進展したき裂は、その後中3ヤカに中心軸方向、あるいはそれと平行に進展しており、実験結果とよく似た傾向を示している。1回の進展量としては5mmから10mm程度のもののが多いか、切欠き上部からのき裂が中心軸に接近する途中で、また、下部からのき裂が中心軸上に達したとき微小き裂が生じ、停留状態を示している。そして、次にき裂を進展させたために大きな荷重増加を行ひ、以後不安定破壊へと繋くものと思われる。破壊様式としては、21ステージ中モードI形が11回、モードII形が10回で、一般に互裂状態になるとと思われるにせいかからず、 $K_{II}$ 値が大きく計算されている。対的に $\beta=45^\circ$ では、同じく21ステージ中モードI形が18回、モードII形が3回で、全体的に $K_{II}$ 値が小さく得られている。また、Gの値も小さいため、1回の進展量が短く、

その結果として全体のき裂進展量は短いか、中心軸へ接近する様子がなめらかに表現されている。そして、この状態のとごと荷重値は徐々に増加しておあり、全体的に安定破壊状態を示しているとのと思われる。しかし、12ステージ以後では $K_{II}$ 値が大きくなり、その進展を大きく屈折して表わされていく。

このように、本解析ではき裂進展の比較的初期の段階では実験結果を良く再現しているが、き裂が進展するにしたがつて、その精度が低下していふ。これに、F.E.M.に用ひる要素分割がき裂

進展に伴つて変形され、特異要素を用いても十分正確な応力状態が表現できなかつたのではないかと思われる。

参考文献 (1)き裂進展に伴うAEに関する考察 第17回材料セミナー論文集による材料強度の研究配布文献、1979.

(2)山田他「特異有限要素とその構造解析への応用」生産研究、31巻3号、1979。

(3)藤井他「破壊力学によるせん断性材料のき裂進展解析」土木学会第34回講演概要 III-169、1979。

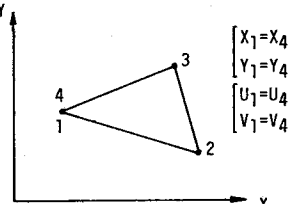


図2 3節点特異要素

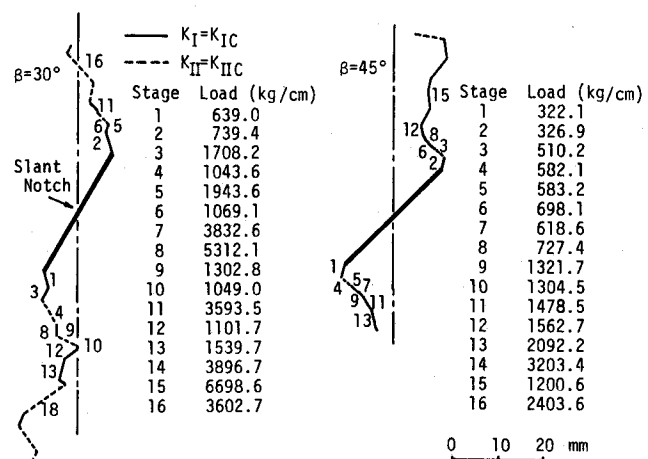


図3 き裂進展状況と荷重値